

СТАЦИОНАРНЫЕ РЕЖИМЫ ПРЕВРАЩЕНИЯ В ВЯЗКОУПРУГОЙ СРЕДЕ

А. Г. Князева, С. Н. Сорокова

Институт физики прочности и материаловедения СО РАН, 634021 Томск, anna@ms.tsc.ru

Задача о распространении стационарного фронта превращения в вязкоупругой среде решается методом сращиваемых асимптотических разложений в приближении малых деформаций. Предполагается, что поток тепла удовлетворяет закону Фурье, а компоненты тензоров напряжений и деформаций связаны соотношениями Максвелла, включающими сдвиговый коэффициент вязкости. Найдены температура продуктов и скорость распространения стационарного фронта реакции. Решение задачи получено для предельных случаев малого и большого времени релаксации вязких напряжений. Показано, что в модели существуют различные режимы распространения фронта реакции, как и в связанных моделях твердофазного горения для термоупругого тела, а вязкие напряжения вносят дополнительные особенности.

Ключевые слова: стационарные режимы горения, связанная модель, термические напряжения, вязкоупругая среда, асимптотический анализ.

ВВЕДЕНИЕ

К числу твердофазных процессов относятся те, в которых одна из фаз, участвующих в превращении, является твердой. Как и реакции в газах и жидкостях, твердофазные превращения бывают быстрые и медленные; экзотермические и эндотермические; гомогенные и гетерогенные; протекающие без изменения химического состава фазы и с изменением химического состава. На протекание химических реакций в твердом теле оказывают влияние, кроме температуры, механические напряжения, диффузия, структура образца, напряженность электрического поля, окружающая среда. В твердом веществе все процессы взаимосвязаны и могут влиять друг на друга как прямо, так и косвенным образом.

Учет взаимовлияния различных процессов приводит к построению связанных моделей твердофазных превращений. В работах [1, 2] показано, что учет взаимодействия тепловых и механических процессов приводит к появлению различных режимов превращения. Напряжения и деформации в этих задачах считались упругими и удовлетворяли обобщенным соотношениям Дюамеля — Неймана.

Представляет интерес выяснить, приводит ли учет реологических особенностей среды к появлению новых закономерностей рас-

пространения фронта превращения. Так, в реальной ситуации твердофазные превращения осуществляются, если реагенты подготовлены в виде порошковой смеси. Реологическое поведение таких сред нельзя назвать упругим. Реагенты могут претерпевать фазовые превращения с изменением температуры и коагулировать, измельчаться под действием напряжений, возникающих в зоне реакции и др. Это типично, например, для металлотермических превращений. В работе [3] предложена математическая модель для описания металлотермических превращений, основанная на вязкоупругой модели Максвелла. Применимость модели такого типа к описанию механического поведения материалов, обладающих свойствами как жидкости, так и твердого тела, продемонстрирована, например, в [4]. Отдельные расчеты, представленные в этой работе, показали, что особенности связанной модели, характерные для упругих напряжений [1, 2], в вязкоупругой модели сохраняются. Подробное исследование задачи в работе не проводилось.

Целью настоящей работы являются нахождение стационарного решения задачи с использованием асимптотических методов и его анализ в широкой области изменения параметров.

ПОСТАНОВКА ЗАДАЧИ

В приближении малых деформаций, скоростей и перемещений задача о распространении

Работа выполнена при финансовой поддержке Российского фонда фундаментальных исследований (проект № 03-01-00074).

фронта превращения включает [2, 3] уравнение баланса внутренней энергии в форме уравнения теплопроводности

$$\rho c_\varepsilon \frac{\partial T}{\partial t} = -\operatorname{div} \mathbf{J}_T - 3\alpha_T K T \frac{\partial \varepsilon_{kk}}{\partial t} + Q_r \frac{\partial y}{\partial t},$$

уравнение химической кинетики для суммарной реакции $A \rightarrow B$

$$\frac{\partial y}{\partial t} = k_r \varphi(y) \exp\left(-\frac{E_a}{RT}\right),$$

уравнение баланса импульса, или уравнение движения,

$$\rho \frac{\partial^2 \mathbf{u}}{\partial t^2} = -\nabla \sigma.$$

Здесь T — температура; y — доля суммарного продукта реакции или степень превращения; ρ — плотность; c_ε — теплоемкость; \mathbf{J}_T — вектор плотности теплового потока; \mathbf{u} — вектор перемещений, компоненты $u_{i,j}$ которого связаны с компонентами тензора малых деформаций соотношениями Коши

$$\varepsilon_{ij} = \frac{1}{2} \left(\frac{\partial u_i}{\partial x_j} + \frac{\partial u_j}{\partial x_i} \right);$$

α_T — линейный коэффициент теплового расширения; $K = \lambda + 2\mu/3$ — изотермический модуль всестороннего сжатия, λ, μ — коэффициенты Ламэ (μ соответствует модулю сдвига в теории упругости); Q_r — тепловыделение реакции; E_a — энергия активации; R — универсальная газовая постоянная; σ — полный тензор напряжений, который состоит из упругой и вязкой частей. Упругая часть тензора напряжений удовлетворяет обобщенному закону Гука

$$d\sigma_{ij}^e = 2\mu d\varepsilon_{ij} + \delta_{ij}[\lambda d\varepsilon_{kk} - K dw], \quad (1)$$

где δ_{ij} — символ Кронекера; $\varepsilon_{kk} = \varepsilon_{11} + \varepsilon_{22} + \varepsilon_{33}$ — первый инвариант тензора деформаций; w — относительное изменение локального объема, зависящее от величин, характеризующих различные необратимые процессы. В частном случае малых деформаций и при учете только термических напряжений имеем

$$w = 3\alpha_T(T - T_0).$$

Тогда из (1) получаем обычное соотношение Дюамеля — Неймана

$$\sigma_{ij}^e = 2\mu\varepsilon_{ij} + \delta_{ij}[\lambda\varepsilon_{kk} - 3K\alpha_T(T - T_0)].$$

Просуммировав σ_{ij}^e по $i = j$, находим

$$\sigma_{kk}^e = 3K(\varepsilon_{kk} - \alpha_T(T - T_0)) \quad (2)$$

или

$$d\sigma_{kk}^e = 3K[d\varepsilon_{kk} - dw].$$

Разобьем полный тензор напряжений и тензор деформации на шаровую и девиаторную части:

$$\tau_{ij} = \sigma_{ij} - \delta_{ij}\sigma_{kk}/3,$$

$$e_{ij} = \varepsilon_{ij} - \delta_{ij}\varepsilon_{kk}/3,$$

где $\tau_{ij} = \tau_{ij}^e + \tau_{ij}^V$ и $\sigma_{ij} = \sigma_{ij}^e + \sigma_{ij}^V$, а индекс V соответствует вязким напряжениям. Примем, что упругая часть тензора напряжений есть шаровой тензор, т. е. $\tau_{ij}^e = 0$. Соотношение (2) для упругого тензора остается в силе. Используя операторную связь

$$A\tau_{ij}^V = B e_{ij}, \quad (3)$$

$$A = \frac{1}{2\mu} \frac{\partial}{\partial t} + \frac{1}{2\alpha}, \quad B = \frac{\partial}{\partial t}$$

и полагая, что $\sigma_{kk}^V = 0$, приходим к уравнениям

$$\frac{\partial \sigma_{ij}}{\partial t} + \frac{\mu}{\alpha} \sigma_{ij} = 2\mu \frac{\partial \varepsilon_{ij}}{\partial t} + \delta_{ij} \left[\frac{\partial}{\partial t} (\lambda \varepsilon_{kk} - 3K\alpha_T \times \right.$$

$$\left. \times (T - T_0)) + \frac{\mu}{\alpha} K (\varepsilon_{kk} - 3\alpha_T(T - T_0)) \right]. \quad (4)$$

В (3), (4) α — коэффициент сдвиговой вязкости. В предельном случае $\alpha \rightarrow \infty$ из (4) следует соотношение Дюамеля — Неймана, в случае $\alpha \rightarrow 0$ имеем соотношение между компонентами σ_{ij} и ε_{ij} для анизотропной невязкой жидкости. Операторное уравнение (3) соответствует вязкоупругой модели Максвелла, которое корректно для описания механического поведения сред, обладающих свойствами жидкости и твердого тела.

В случае плоского реакционного фронта справедливости соотношения

$$u_1 \neq 0, \quad u_2 = u_3 = 0;$$

$$|\varepsilon_{11}| \gg |\varepsilon_{22}|, \quad \varepsilon_{22} = \varepsilon_{33} \rightarrow 0;$$

$$|\sigma_{11}| \leq |\sigma_{22}|, \quad \sigma_{22} = \sigma_{33}.$$

Остальные компоненты тензоров напряжений и деформаций равны нулю. Примем далее $u_1 = u$ и $\varepsilon_{11} = \varepsilon$.

Для потока тепла используем закон Фурье $\mathbf{J}_T = -\lambda_T \nabla T$, в отличие от работы [1], где в модели учитывалась конечность времени релаксации потока тепла.

В результате задача о распространении плоского фронта превращения будет описываться следующей системой уравнений:

$$c_\varepsilon \rho \frac{\partial T}{\partial t} = \lambda_T \frac{\partial^2 T}{\partial x^2} - 3K\alpha_T T \frac{\partial \varepsilon}{\partial t} + Q_r \frac{\partial y}{\partial t}; \quad (5)$$

$$\frac{\partial y}{\partial t} = k_r \varphi(y) \exp\left(-\frac{E_a}{RT}\right); \quad (6)$$

$$\rho \frac{\partial^2 u}{\partial t^2} = \frac{\partial \sigma_{11}}{\partial x} \quad \text{или} \quad \rho \frac{\partial^2 \varepsilon}{\partial t^2} = \frac{\partial^2 \sigma_{11}}{\partial x^2}; \quad (7)$$

$$\frac{\partial \sigma_{11}}{\partial t} + \frac{\mu}{\varepsilon} \sigma_{11} = (2\mu + \lambda) \frac{\partial \varepsilon}{\partial t} - 3K\alpha_T \frac{\partial T}{\partial t} + \frac{\mu}{\varepsilon} K(\varepsilon - 3\alpha_T(T - T_0)); \quad (8)$$

$$\frac{\partial \sigma_{22}}{\partial t} + \frac{\mu}{\varepsilon} \sigma_{22} = \lambda \frac{\partial \varepsilon}{\partial t} - 3K\alpha_T \frac{\partial T}{\partial t} + \frac{\mu}{\varepsilon} K(\varepsilon - 3\alpha_T(T - T_0)).$$

Дополним систему (5)–(8) стандартными для подобных задач граничными условиями. Полагаем, что в исходном веществе (т. е. в реагентах) все возмущения нулевые:

$$T - T_0 = 0, \quad y = 0, \quad \varepsilon = \frac{\partial \varepsilon}{\partial x} = 0, \quad (9)$$

а в продуктах реакции все возмущения затухают и

$$T \rightarrow T_b, \quad y \rightarrow 1, \quad (10)$$

где T_b — температура горения, которую требуется определить в ходе анализа задачи.

Рассмотрим реакцию первого порядка ($n = 1$), т. е. $\varphi(y) = 1 - y$.

В системе координат, связанной с фронтом реакции, движущимся вправо со скоростью v_n , система (5)–(8) принимает вид:

$$c_\varepsilon \rho \left[\frac{\partial T}{\partial t} - v_n \frac{\partial T}{\partial x'} \right] = \lambda_T \frac{\partial^2 T}{\partial x'^2} - 3K\alpha_T T \left[\frac{\partial \varepsilon}{\partial t} - v_n \frac{\partial \varepsilon}{\partial x'} \right] + Q_r \left[\frac{\partial y}{\partial t} - v_n \frac{\partial y}{\partial x'} \right];$$

$$\frac{\partial y}{\partial t} - v_n \frac{\partial y}{\partial x'} = k_r \varphi(y) \exp\left(-\frac{E_a}{RT}\right);$$

$$\rho \left[\frac{\partial^2 \varepsilon}{\partial t^2} - 2v_n \frac{\partial^2 \varepsilon}{\partial t \partial x'} + v_n^2 \frac{\partial^2 \varepsilon}{\partial x'^2} \right] = \frac{\partial^2 \sigma_{11}}{\partial x'^2};$$

$$\frac{\partial \sigma_{11}}{\partial t} - v_n \frac{\partial \sigma_{11}}{\partial x'} + \frac{\mu}{\varepsilon} \sigma_{11} = (2\mu + \lambda) \times \quad (11)$$

$$\times \left[\frac{\partial \varepsilon}{\partial t} - v_n \frac{\partial \varepsilon}{\partial x'} \right] - 3K\alpha_T \left[\frac{\partial T}{\partial t} - v_n \frac{\partial T}{\partial x'} \right] - \frac{\mu}{\varepsilon} K(\varepsilon - 3\alpha_T(T - T_0)),$$

где $x' = x - \int_0^t v_n dt$.

Стационарная задача получается из (11) приравниванием нулю производных по времени.

ФОРМУЛИРОВКА ЗАДАЧИ В БЕЗРАЗМЕРНЫХ ПЕРЕМЕННЫХ

В переменных

$$\theta = \frac{T - T_0}{T_* - T_0}, \quad \xi = \frac{x'}{x_*}, \quad y, \quad e = \frac{\varepsilon}{\varepsilon_*}, \quad S = \frac{\sigma_{11}}{\sigma_*},$$

где

$$T_* = T_{b0} = T_0 + Q_r / c_\varepsilon \rho,$$

$$x_* = \varepsilon_T / v_n,$$

$$\sigma_* = 3K\alpha_T(T_* - T_0),$$

$$\varepsilon_* = \sigma_* / (2\mu + \lambda),$$

стационарная задача записывается в виде:

$$-\frac{d\theta}{d\xi} = \frac{d^2\theta}{d\xi^2} + \omega[\theta + \sigma] \frac{de}{d\xi} - \frac{dy}{d\xi}, \quad (12)$$

$$m\gamma \frac{dy}{d\xi} = \varphi(y) \exp\left[-\frac{1 - \theta}{\beta(\theta + \sigma)}\right], \quad (13)$$

$$\alpha \frac{d^2 e}{d\xi^2} = \frac{d^2 S}{d\xi^2}, \quad (14)$$

$$-\frac{dS}{d\xi} + \frac{S}{\tau_v} = -\frac{de}{d\xi} + \frac{d\theta}{d\xi} + \frac{he - \theta}{\tau_v}, \quad (15)$$

где $\sigma = T_0/(T_* - T_0)$; $\omega = [(3\alpha_T K)^2(T_* - T_0)]/c_\varepsilon \rho(2\mu + \lambda)$ — коэффициент связанности полей деформации и температуры; $\alpha = (v_n/c_l)^2$ — аналог числа Маха для твердофазного горения [2], где $c_l = \sqrt{(\lambda + 2\mu)/\rho}$ — линейная скорость звука; $h = K/(\lambda + 2\mu)$ — отношение объемной и продольной скоростей звука; $\tau_v = \varkappa v_n^2/\mu \varkappa_T$ — время (или скорость) релаксации вязких напряжений; $\beta = RT_*/E_a$, $\gamma = c_\varepsilon \rho RT_*/E_a Q_r$ — обычные малые параметры тепловой теории горения; $m = v_n^2/\gamma v_{n*}^2$ — скорость распространения фронта реакции, которая является собственным значением задачи; v_{n*} — характерная скорость реакции.

Граничные условия в реагентах запишутся так:

$$\xi \rightarrow +\infty: \quad \theta = y = e = \frac{de}{d\xi} = 0,$$

в области продуктов реакции —

$$\xi \rightarrow -\infty: \quad \frac{d\theta}{d\xi} = 0, \quad y \rightarrow 1.$$

Из уравнения (14) сразу находим первый интеграл: $S = \alpha e$, тогда уравнение (15) примет вид

$$(1 - \alpha) \frac{de}{d\xi} + \frac{\alpha - h}{\tau_v} e = \frac{d\theta}{d\xi} + \frac{\theta}{\tau_v}.$$

Понизим порядок системы уравнений, для чего введем новую переменную $P = \frac{d\theta}{d\xi}$. В результате из (12), (13) и последнего уравнения получаем систему:

$$\begin{aligned} -1 &= \frac{dP}{d\theta} + \omega(\theta + \sigma) \frac{de}{d\theta} - \frac{dy}{d\theta}, \\ m\gamma \frac{dy}{d\theta} P &= \varphi(y) \exp\left[-\frac{1 - \theta}{\beta(\theta + \sigma)}\right], \end{aligned} \quad (16)$$

$$(1 - \alpha) \frac{de}{d\theta} P + \frac{\alpha - h}{\tau_v} = P + \frac{\theta}{\tau_v}.$$

Ее граничные условия:

$$\theta \rightarrow 0: \quad P = \frac{d\theta}{d\xi} \rightarrow 0, \quad y = 0, \quad e = 0,$$

$$\theta \rightarrow \theta_b: \quad P \rightarrow 0, \quad y \rightarrow 1.$$

Требуется найти распределение температуры, напряжений и деформаций в волне горения, а также определить температуру продуктов $\theta_b = (T_b - T_0)/(T_{b0} - T_0)$ и скорость распространения фронта реакции m в зависимости от параметров модели ω , σ , α , h , τ_v , γ .

АСИМПТОТИЧЕСКИЙ АНАЛИЗ ЗАДАЧИ

Учитывая малость величины γ , будем строить решение методом сращиваемых асимптотических разложений [5, 6].

Для получения инертного решения (решения во внешней области) в системе (16) устремляем γ к нулю. Тогда система примет вид:

$$-1 = \frac{dP}{d\theta} + \omega(\theta + \sigma) \frac{de}{d\theta}, \quad (17)$$

$$(1 - \alpha) \frac{de}{d\theta} P + \frac{\alpha - h}{\tau_v} = P + \frac{\theta}{\tau_v};$$

$$\theta \rightarrow 0: \quad P = \frac{d\theta}{d\xi} \rightarrow 0, \quad e \rightarrow 0. \quad (18)$$

Будем искать внешние решения для двух предельных случаев: малого ($\tau_v \ll 1$) и большого ($\tau_v \gg 1$) времени релаксации вязких напряжений.

1. В случае малого времени релаксации ($\tau_v \ll 1$) будем искать решение в виде ряда по τ_v :

$$P = P_0 + \tau_v P_1 + \dots, \quad e = e_0 + \tau_v e_1 + \dots$$

Подставляя разложения в систему (17), (18), получаем:

$$\begin{aligned} -1 &= \left[\frac{dP_0}{d\theta} + \tau_v \frac{dP_1}{d\theta} + \dots \right] + \\ &+ \omega(\theta + \sigma) \left[\frac{de_0}{d\theta} + \tau_v \frac{de_1}{d\theta} + \dots \right]; \\ (1 - \alpha) \tau_v \left[\frac{de_0}{d\theta} + \tau_v \frac{de_1}{d\theta} + \dots \right] \times \\ &\times (P_0 + \tau_v P_1 + \dots) + (\alpha - h)(e_0 + \tau_v e_1 + \dots) = \\ &= \tau_v (P_0 + \tau_v P_1 + \dots) + \theta. \end{aligned}$$

Приравнивая слагаемые при одинаковых степенях τ_v , находим:

для нулевого приближения

$$\begin{aligned} -1 &= \frac{dP_0}{d\theta} + \omega(\theta + \sigma) \frac{de_0}{d\theta}, \\ (\alpha - h)e_0 &= \theta; \end{aligned}$$

для первого приближения

$$\begin{aligned} 0 &= \frac{dP_1}{d\theta} + \omega(\theta + \sigma) \frac{de_1}{d\theta}, \\ (1 - \alpha) \frac{de_0}{d\theta} P_0 + (\alpha - h)e_1 &= P_0 \end{aligned}$$

и т. д. Граничные условия к внешней задаче следующие:

для нулевого приближения

$$P_0 \rightarrow 0, \quad e_0 \rightarrow 0,$$

для первого приближения

$$P_1 \rightarrow 0, \quad e_1 \rightarrow 0.$$

Ограничимся вторым порядком малости по τ_v , тогда решение внешней задачи примет вид:

$$P = a\theta^3 + b\theta^2 + c\theta + O(\tau_v^2), \quad (19)$$

$$e = \frac{\theta}{\alpha - h} + \frac{\tau_v}{\alpha - h} \left(1 - \frac{1 - \alpha}{\alpha - h}\right) \times \\ \times \left[\frac{\omega}{\alpha - h} \left(\frac{\theta^2}{2} + \sigma\theta\right) - \theta \right] + O(\tau_v^2), \quad (20)$$

где

$$a = \frac{\tau_v}{3} \left(\frac{\omega}{\alpha - h}\right)^3 \left(1 - \frac{1 - \alpha}{\alpha - h}\right),$$

$$b = \tau_v \left(1 - \frac{1 - \alpha}{\alpha - h}\right) \frac{\omega}{\alpha - h} \left(\frac{\sigma\omega}{3} + \frac{1}{2}\right) - \frac{1}{2} \frac{\omega}{\alpha - h},$$

$$c = \tau_v \left[1 - \frac{1 - \alpha}{\alpha - h}\right] \frac{\sigma\omega}{\alpha - h} \left(\frac{\sigma\omega}{\alpha - h} + 1\right) - \\ - 1 - \frac{\sigma\omega}{\alpha - h}.$$

Из уравнения (19) после интегрирования находим уравнение для температуры:

$$\frac{1}{c} \ln \theta - \frac{1}{2c} \ln(a\theta^2 + b\theta + c) - \frac{b}{c\sqrt{4cb - b^2}} \times \\ \times \arctan \frac{2a\theta + b}{\sqrt{4ca - b^2}} + \text{const} = \xi. \quad (21)$$

Константа интегрирования может быть найдена из условия срачивания (21) с внутренним решением.

2. В случае большого времени релаксации ($\tau_v \gg 1$) будем искать решение в виде ряда по τ_v^{-1} :

$$P = P_0 + \tau_v^{-1}P_1 + \dots, \quad e = e_0 + \tau_v^{-1}e_1 + \dots.$$

Система уравнений для нахождения внешнего решения примет вид:

$$-1 = \left[\frac{dP_0}{d\theta} + \tau_v^{-1} \frac{dP_1}{d\theta} + \dots \right] + \\ + \omega(\theta + \sigma) \left[\frac{de_0}{d\theta} + \tau_v^{-1} \frac{de_1}{d\theta} + \dots \right]; \\ (1 - \alpha) \left[\frac{de_0}{d\theta} + \tau_v^{-1} \frac{de_1}{d\theta} + \dots \right] (P_0 + \tau_v^{-1}P_1 + \dots) + \\ + \tau_v^{-1}(\alpha - h)[e_0 + \tau_v^{-1}e_1 + \dots] = \\ = (P_0 + \tau_v^{-1}P_1 + \dots) + \tau_v^{-1}\theta.$$

Аналогично предыдущему случаю имеем: для нулевого приближения

$$-1 = \frac{dP_0}{d\theta} + \omega(\theta + \sigma) \frac{de_0}{d\theta},$$

$$(1 - \alpha) \frac{de_0}{d\theta} P_0 = P_0,$$

для первого приближения

$$0 = \frac{dP_1}{d\theta} + \omega(\theta + \sigma) \frac{de_1}{d\theta},$$

$$(1 - \alpha) \left[\frac{de_0}{d\theta} P_1 + \frac{de_1}{d\theta} P_0 \right] + (\alpha - h)e_0 = P_1 + \theta.$$

Граничные условия (18) для нулевого и первого приближений записываются соответственно в виде

$$P_0 \rightarrow 0, \quad e_0 \rightarrow 0;$$

$$P_1 \rightarrow 0, \quad e_1 \rightarrow 0.$$

Не представляет труда выписать рекуррентные соотношения для нахождения следующих приближений. С точностью до $O(\tau_v^{-2})$ внешнее решение примет вид:

$$P = -\theta - \frac{\omega}{1 - \alpha} \left(\frac{\theta^2}{2} - \sigma\theta\right) + \frac{2}{\tau_v} \left(1 - \frac{\alpha - h}{1 - \alpha}\right) \times \\ \times \left[\theta + \frac{2(1 - \alpha) + \omega\sigma}{\omega} \ln \frac{2(1 - \alpha) + \omega\sigma}{\omega\theta + 2(1 - \alpha) + 2\omega\sigma} \right] + \\ + O(\tau_v^{-2}), \quad (22)$$

$$e = \frac{\theta}{1 - \alpha} + \frac{2(2\alpha - h - 1)}{\omega\tau_v} \times \\ \times \ln \left(2 + \frac{2\omega}{1 - \alpha} \left(\sigma + \frac{\theta}{2}\right)\right) + O(\tau_v^{-2}). \quad (23)$$

Для того чтобы найти решение внутренней задачи, перейдем в системе (16) к внутренней переменной

$$t = \frac{1 - \theta}{\gamma}, \quad d\theta = -\gamma dt.$$

Тогда для зоны химических реакций задача записывается в следующем виде:

$$-1 = -\frac{1}{\gamma} \frac{dP}{dt} - \omega(\sigma + 1 - t\gamma) \frac{1}{\gamma} \frac{de}{dt} + \frac{1}{\gamma} \frac{dy}{dt}, \\ mP \frac{dy}{dt} = \varphi(y)\phi(t), \quad (24)$$

$$(1 - \alpha) \frac{P}{\gamma} \frac{de}{dt} + \frac{\alpha - h}{\tau_v} e = P + \frac{1 - t\gamma}{\tau_v},$$

где $\phi(t) = \exp\left(-\frac{1 + \sigma}{1 + \sigma - \gamma t}\right)$, с условием

$$t \rightarrow t_b = \frac{1 - \theta_b}{\gamma}: \quad P \rightarrow 0, \quad y \rightarrow 1.$$

Вторым условием является условие срачивания внешнего и внутреннего решений, которое позволяет определить скорость фронта и температуру продуктов реакции.

Решение внутренней задачи ищем в виде

$$P = P_0 + \gamma P_1 + \dots,$$

$$e = e_0 + \gamma e_1 + \dots,$$

$$y = y_0 + \gamma y_1 + \dots,$$

$$m = m_0 + \gamma m_1 + \dots$$

Представим функцию $\phi(t)$ в виде ряда Тейлора по степеням малого параметра γ с точностью до слагаемых второго порядка малости:

$$\begin{aligned} \exp\left(-\frac{t(\sigma + 1)}{\sigma + 1 - t\gamma}\right) &= \\ &= \exp(-t) - \exp(-t) \frac{t^2}{\sigma + 1} \gamma + \dots \end{aligned}$$

Подставляя разложения в систему уравнений (24), получим систему уравнений для нахождения нулевого приближения:

$$\begin{aligned} 0 &= \frac{dP_0}{dt} + \omega(\sigma + 1) \frac{de_0}{dt} - \frac{dy_0}{dt}, \\ m_0 \frac{dy_0}{dt} P_0 &= (1 - y_0) \exp(-t), \\ (1 - \alpha) \frac{de_0}{dt} P_0 &= 0. \end{aligned} \quad (25)$$

Для первого приближения имеем:

$$\begin{aligned} 1 &= \frac{dP_1}{dt} + \omega(\sigma + 1) \frac{de_1}{dt} - \omega t \frac{de_0}{dt} - \frac{dy_1}{dt}; \\ m_1 \frac{dy_0}{dt} P_0 + m_0 \frac{dy_1}{dt} P_0 + m_0 \frac{dy_0}{dt} P_1 &= \\ &= -(1 - y_0) \frac{t^2}{\sigma + 1} \exp(-t) - y_1 \exp(-t); \quad (26) \\ (1 - \alpha) \left[\frac{de_0}{dt} P_1 + \frac{de_1}{dt} P_0 \right] + \frac{1}{\tau_v} (\alpha - h) e_0 &= P_0 + \frac{1}{\tau_v}. \end{aligned}$$

Граничными условиями для нулевого и первого приближений являются условие срачивания и соотношения

$$t \rightarrow t_b: \quad P_0 \rightarrow 0, \quad y_0 \rightarrow 1 \text{ и } P_1 \rightarrow 0, \quad y_1 \rightarrow 0. \quad (27)$$

Из системы (26) видно, что в первом приближении по γ случаи большого и малого времени релаксации следует анализировать отдельно. При малом времени релаксации решение различно для предельных случаев $\gamma \ll \tau_v$, $\gamma \gg \tau_v$ и $\gamma/\tau_v \approx 1$. В данной работе мы ограничились только нулевым приближением по γ .

Решение внутренней задачи (25) с учетом условия (27) имеет вид:

$$\begin{aligned} P_0 &= \frac{1}{m_0} \exp(-t) - 1 + O(\gamma), \\ y_0 &= \frac{1}{m_0} \left(\exp(-t) - \exp \frac{\theta_b - 1}{\gamma} + 1 \right) + O(\gamma), \\ e_0 &= \text{const}. \end{aligned} \quad (28)$$

Константу интегрирования, скорость фронта m_0 и температуру продуктов θ_b находим из условия срачивания внешнего и внутреннего решений, которое состоит в требовании одинакового предельного поведения внутренних и внешних разложений, записанных в одинаковых переменных. В нашей задаче условие срачивания сводится к следующей процедуре. Переходя в (28) к переменной θ , устремляем ее к внешнему пределу. Полученные выражения приравниваем к соответствующему внешнему решению для градиента и степени превращения при условии $\theta \rightarrow \theta_b$ (т. е. при стремлении к внутреннему пределу). Тогда при $y \rightarrow 0$ найдем уравнение для скорости фронта

$$m_0 \approx \exp \frac{\theta_b - 1}{\gamma}. \quad (29)$$

Срачивание решений для градиентов даст уравнение для температуры θ_b .

В случае большого времени релаксации находим равенство

$$\begin{aligned} 1 - \theta_b - \omega_1 \left(\frac{\theta_b^2}{2} + \sigma \theta_b \right) + \frac{2}{\tau_v} (1 - 2\alpha + h) \times \\ \times \left[\theta_b - \left(\sigma + \frac{2}{\omega_1} \right) \ln \frac{2 + \theta_b \omega_1 + 2\sigma \omega_1}{2 + 2\sigma \omega_1} \right] &= 0, \end{aligned} \quad (30)$$

где $\omega_1 = \omega/(1 - \alpha)$.

В случае малого времени релаксации имеем

$$a\theta_b^3 + b\theta_b^2 + c\theta_b + d = 0, \quad (31)$$

где a, b, c, d — константы уравнения, зависящие от параметров модели, $d = 1$. В зависимости от величины и знака дискриминанта это уравнение имеет одно или три действительных решения.

Величина деформаций в области продуктов реакции, а следовательно, и напряжений находится из уравнений (20), (23) или (28) соответственно для малого и большого времени релаксации вязких напряжений.

ПАРАМЕТРИЧЕСКИЙ АНАЛИЗ ЗАДАЧИ

Анализ показал, что существует два типа решения задачи: низкоскоростное ($\alpha < 1$) и высокоскоростное ($\alpha > 1$), как и в случае чисто упругих напряжений [1]. С физической точки зрения скорость медленных стационарных режимов превращения определяется переносом энергии за счет теплопроводности, а скорость быстрых режимов превращения определяется переносом энергии волной механических возмущений [3]. В отличие от моделей для упругих сред здесь существуют особенности.

Подробное исследование полученных уравнений для температуры продуктов и скорости фронта горения проведено для случаев $\tau_v = 0.1$ и $\tau_v = 10$. Параметры α, ω, σ менялись в широких пределах, а значения параметров γ и h не менялись ($\gamma = 0.01, h = 0.83$).

В случае большого времени релаксации при низкоскоростном режиме ($\alpha < 1$) уравнение для температуры (30) имеет единственное положительное решение, меньшее единицы. При увеличении коэффициента связанности ω значение температуры продуктов θ_b уменьшается (рис. 1, а). С увеличением α (кривые 1–3) от 0 до 1 и σ (кривые 1, 4) температура продуктов также уменьшается. Следовательно, в соответствии с формулой (29) скорость распространения фронта реакции также уменьшается при увеличении σ и ω , что видно из рис. 1, б.

Возможность существования высокоскоростного режима ($\alpha > 1$) зависит от соотношения параметров ω, σ, α . Например, при $\alpha = 1.5$ и $\sigma = 0.3$ температура продуктов растет с увеличением ω от 0 до ω_* (рис. 2), при $\omega > \omega_*$ решение не существует. Критическое значение ω_* увеличивается с ростом α и уменьшается с

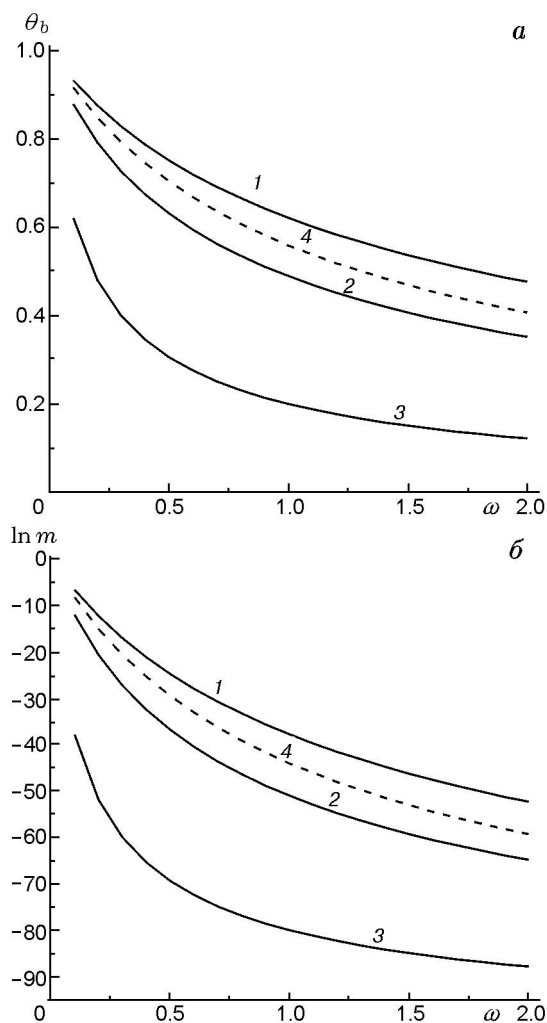


Рис. 1. Зависимость температуры продуктов (а) и скорости фронта (б) от коэффициента связанности в случае низкоскоростного режима при $\tau_v = 10$:

1–3 — $\sigma = 0.3, \alpha = 0.1$ (1), 0.5 (2), 0.9 (3); 4 — $\sigma = 0.5, \alpha = 0.1$

ростом относительного перепада температуры σ (рис. 3).

В этой области параметров уравнение для температуры имеет единственное положительное решение.

На рис. 4 показана зависимость температуры продуктов и стационарной скорости фронта от числа Маха для высокоскоростного режима ($\alpha > 1$) при различных значениях коэффициента связанности ω (кривые 1–3) и относительного перепада температуры σ (кривые 1, 4) в области существования решения. Чем ближе значение α к единице, тем больше отличие температуры продуктов от значения $\theta_b = 1$, которое соответствует решению чи-

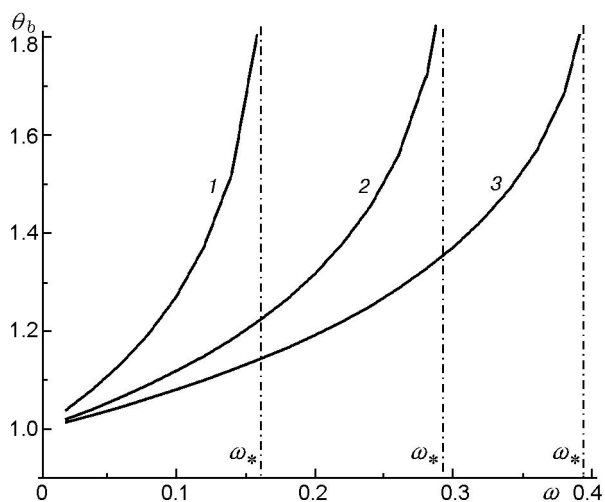


Рис. 2. Зависимость температуры продуктов от коэффициента связанности при $\sigma = 0.3$, $\tau_v = 10$, $\alpha = 1.5$ (1), 2 (2), 2.5 (3)

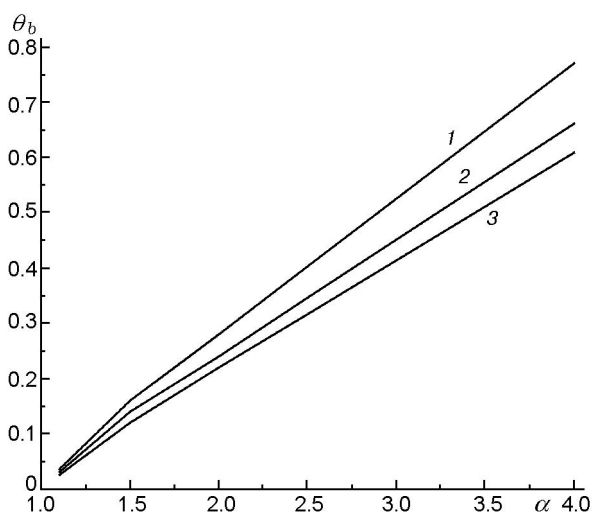


Рис. 3. Зависимость критического значения коэффициента связанности от α при $\tau_v = 10$, $\sigma = 0.3$ (1), 0.5 (2), 0.7 (3)

сто тепловой задачи о распространении фронта превращения в твердой фазе. Критическое значение $\alpha_* > 1$, ниже которого ($\alpha > 1$) сверхзвуковых решений не существует, увеличивается с ростом ω и σ . Качественный характер решения не зависит от соотношения величины α и параметра h , равного отношению линейной и объемной скоростей звука.

В случае малого времени релаксации в зависимости от значений параметров ω , σ , α

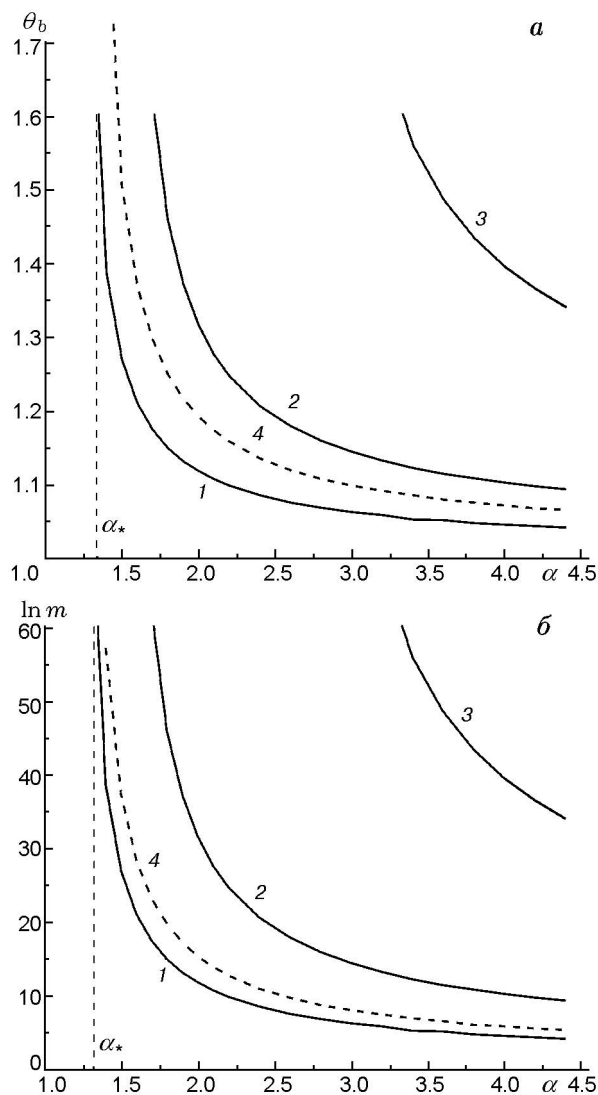


Рис. 4. Зависимость температуры продуктов (а) и скорости фронта (б) для высокоскоростного режима от параметров модели при $\tau_v \gg 1$: 1–3 — $\sigma = 0.3$, $\omega = 0.1$ (1), 0.2 (2), 0.5 (3), 4 — $\sigma = 0.5$, $\omega = 0.1$

уравнение для температуры продуктов (31) может иметь один, два или три положительных корня, что приводит к интересным, неоднозначно трактуемым результатам.

Если $\alpha < 1$ и $\alpha < h$, что соответствует низкоскоростному режиму распространения фронта, то существует область параметров, где уравнение (31) имеет три решения, которые условно обозначим $\theta_I < \theta_{II} < \theta_{III}$. При заданном значении коэффициента связанности ω минимальное значение температуры θ_I растет, а θ_{II} уменьшается с увеличением α ; при некотором значении $\alpha = \alpha_*$ эти решения сливаются

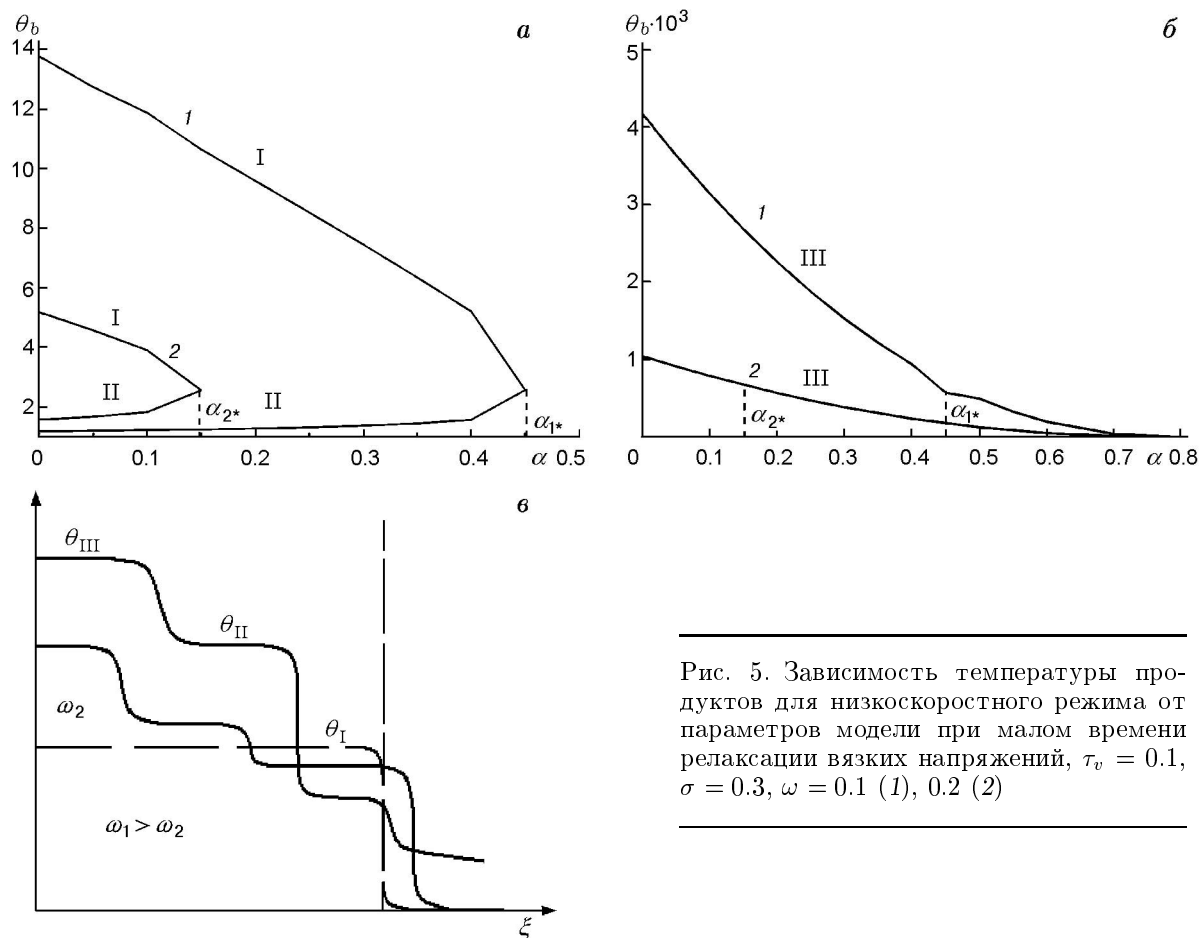


Рис. 5. Зависимость температуры продуктов для низкоскоростного режима от параметров модели при малом времени релаксации вязких напряжений, $\tau_v = 0.1$, $\sigma = 0.3$, $\omega = 0.1$ (1), 0.2 (2)

(рис. 5, а, б) и при $\alpha > \alpha_*$ этих решений (θ_I и θ_{II}) не существует. Температура θ_{III} резко возрастает при $\alpha < \alpha_*$; при $\alpha > \alpha_*$ она постепенно уменьшается практически до нуля. Этот результат можно трактовать различным образом.

1. Реальному значению температуры продуктов соответствует минимальный положительный корень уравнения, а максимальный корень $\theta_{III} \gg 1$ этого уравнения должен быть отброшен как физически нереальный. Тогда $\alpha = \alpha_*$ соответствует переходу в область параметров, где решение не существует. В некоторой области $\alpha > \alpha_*$, где корень θ_{III} принимает конечные значения, можно вновь говорить о появлении «физически реального» решения. Но остается непонятным критерий «реального» значения θ_{III} .

2. Все три значения температуры имеют смысл. До $\alpha = \alpha_*$ фронт реакции имеет трехтемпературную структуру, например, такую, как на рис. 5, в (кривая 1); при $\alpha > \alpha_*$ — однотемпературную, с высокой или низ-

кой температурой продуктов и высокой скоростью, но меньшей скорости звука. Именно к такой трактовке приводит анализ результатов работ [1, 2, 7, 8]. Скорость фронта m рассчитываем, используя минимальное значение температуры.

3. Можно предложить и третий вариант: каждому значению температуры θ_I , θ_{II} и θ_{III} соответствует свое значение скорости m . Тогда $\alpha = \alpha_*$ есть «точка бифуркации», в которой число решений при уменьшении α утраивается.

По-видимому, стоит согласиться с авторами работы [7], что наиболее обоснована вторая точка зрения.

При $\alpha = h = 0.83$ решения уравнения (31) не существует.

В области изменения α от h до 1 существует единственный положительный корень уравнения для температуры продуктов, меньший единицы, и, очевидно, мы имеем высокоскоростной (но со скоростью меньше скорости звука) низкотемпературный режим. Темпера-

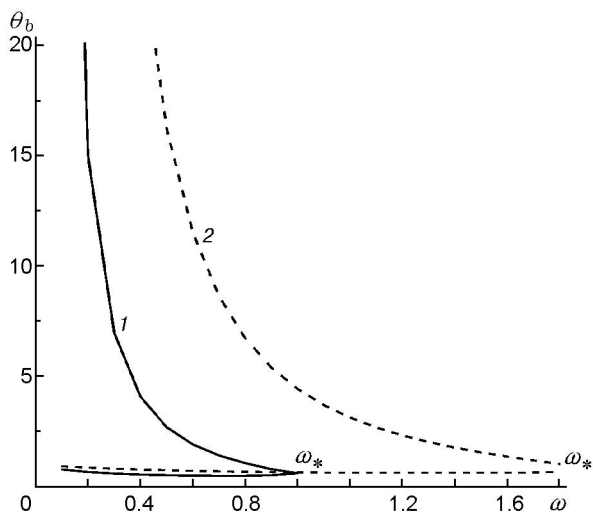


Рис. 6. Зависимость температуры продуктов от параметров модели для высокоскоростного режима при большом времени релаксации вязких напряжений, $\sigma = 0.3$, $\alpha = 1.1$ (1), 1.5 (2)

тура продуктов $\theta_b < 1$ и скорость фронта в этой области параметров уменьшаются с ростом ω и σ .

В сверхзвуковом режиме, в отличие от предыдущего случая ($\alpha < 1$), малому времени релаксации ($\tau_v \ll 1$) соответствуют два значения температуры или, что то же самое, при $\alpha > 1$ уравнение (31) имеет два положительных решения. Меньший корень сначала убывает с ростом коэффициента связанности ω (рис. 6), а затем возрастает, сливаясь с большим корнем при $\omega = \omega_*$, который, в свою очередь, уменьшается при увеличении α . При $\omega > \omega_*$ решение не существует. Критическое значение ω_* увеличивается с ростом α (кривые 1, 2) и σ (на рисунке не показано). Этот результат аналогично предыдущему можно трактовать по-разному.

1. За температуру продуктов θ_b следует принимать меньший корень.

2. Каждому значению θ_b соответствует свое значение скорости фронта.

3. Можно говорить о двухтемпературной структуре стационарного фронта горения.

Прояснить ситуацию можно будет только при численном решении задачи, основанном на проведенном здесь асимптотическом исследовании и использовании качественных методов анализа динамических систем.

Отметим, что разнообразные режимы превращения со сложной структурой реакционно-го фронта наблюдаются в модели именно в об-

ласти малого значения коэффициента связанности ω . В то же самое время классическая тепловая теория горения пренебрегает связанностью тепловых и механических процессов на основании малости этого же коэффициента. Проведенный анализ показывает, что малое значение какого-либо параметра может сильно влиять на результат решения задачи.

ЗАКЛЮЧЕНИЕ

В работе построено аналитическое решение задачи о распространении фронта превращения в вязкоупругой среде для малого и большого времени релаксации вязких напряжений (по сравнению с характерным временем химического превращения). Обнаружено, что уже малое отклонение параметра τ_v от значения, характерного для идеальных сред (твердого тела, для которого $\tau_v = \infty$, и вязкой жидкости, где $\tau_v = 0$), приводит к появлению новых качественных эффектов. Выявлены различные режимы превращения и области параметров модели, где эти режимы существуют. Показано, что реологические особенности среды оказывают существенное влияние как на число возможных режимов превращения, так и на их характеристики (скорость фронта, его структуру и температуру продуктов). Учитывая специфику асимптотических методов [5–8], следует ожидать, что применимость решения выходит за рамки ограничений $\tau_v \gg 1$ и $\tau_v \ll 1$, принятых при его построении.

ЛИТЕРАТУРА

1. Тимохин А. М., Князева А. Г. Режимы распространения фронта реакции в связанной термомеханической модели твердофазного горения // Хим. физика. 1996. Т. 15, № 10. С. 1497–1514.
2. Князева А. Г. Решение задачи термоупругости в форме бегущей волны и его приложение к анализу возможных режимов твердофазных превращений // ПМТФ. 2003. Т. 44, № 2. С. 14–26.
3. Князева А. Г., Дюкарев Е. А. Модель распространения стационарного фронта превращения в вязкоупругой среде // Физика горения и взрыва. 2000. Т. 36, № 4. С. 41–51.
4. Боли Б., Уайнер А. Теория температурных напряжений. М.: Мир, 1964.
5. Найфэ А. Введение в методы возмущений: Пер. с англ. М.: Мир, 1984.
6. Буркина Р. С., Виллюнов В. Н. Асимптотика задач теории горения: Учебное пособие. Томск: Изд-во Томск. ун-та, 1982. С. 100.

-
7. Холопов В. М., Худяев С. И. Неединственность стационарной волны горения // Мат. моделирование. 1998. Т. 10, № 5. С. 91–97.
8. Берман В. С., Рязанцев Ю. С. Асимптотический анализ распространения фронта экзотермической одноступенчатой реакции n -го порядка в конденсированной фазе // Физика горения и взрыва. 1975. Т. 11, № 2. С. 179–188.

*Поступила в редакцию 5/VII 2004 г.,
в окончательном варианте — 13/IV 2006 г.*
